

FABIJAN TRUBELJA i GALIBA SIJARIĆ

PRILOG POZNAVANJU MINERALOŠKOG I KEMIJSKOG SASTAVA ŠKRILJACA U SREDNJEBOŠANSKOM RUDOGORJU

S 4 tabele i 2 slike za tekstu

U radu smo prikazali način pojavljivanja, mineraloški i kemijski sastav biotit-klorit-ankeritskog škriljca i albitsko-kloritskog škriljca iz okolice Busovače u srednjebosanskom rudogorju. Kod ispitivanja smo primijenili uobičajene metode mineraloško-petrografske analize. Zasebno smo ispitivali pojedine minerale koji su prethodno izolirani iz škriljaca; preračunate su i strukturne formule za biotit i ankerit.

UVOD

Geološke prilike srednjebosanskih škriljastih planina izučavali su mnogi geolozi od početka ovog stoljeća pa sve do najnovijeg vremena. Njihovi radovi odnose se na opisivanje regionalnog rasprostranjenja pojedinih litoloških članova ovog prostranog sedimentno-metamorfognog područja (Káutzer 1926), na prirodu magmatizma i magmatskih stijena (Jurković & Majer 1954; Trubelja & Šibenik-Studen 1965; Šibenik-Studen & Trubelja 1967), na stratigrafiju i paleontologiju (Káutzer 1926; Živanović 1963).

Posebno treba istaći noviji rad o metamorfoziranim porfirit-keratofirima (Tajder i Raffaelli 1967). Prema istraživanju spomenutih autora, »predevonske klastične sedimentne stijene i regionalno metamorfozirani kristalasti škriljci čine zajedno jedan kompleks naslaga. Kristalasti škriljci su metamorfozirani do stupnja grinšt facijesa. Višeterminernom nivou grinšt facijesa pripadaju stijene otkrivene u potocima iznad izletišta Tisovca jugozapadno od Busovače, te u okolini Fojnice.«

Naša istraživanja u okolici Busovače se logički nadovezuju na citirane podatke. Biotit-klorit-ankeritski škriljac i albitsko-kloritski škriljac predstavljaju stijene, koje možemo pribrojiti ostalim škriljcima grinšt facijesa.

MAKROSKOPSKE KARAKTERISTIKE I NAČIN POJAVLJIVANJA ŠKRILJACA

Uzorke škriljaca za detaljna laboratorijska ispitivanja sakupili smo u gornjem toku potoka Ivanovica, na mjestu, koje je udaljeno oko 2 km uzvodno od izletišta Tisovac.

Biotit-klorit-ankeritski škriljac i albitsko-kloritski škriljac čine relativno usku zonu u škriljavoj seriji stijena. Debljina ove zone varira od nekoliko centimetara do blizu jedan metar. U podini i krovini nalaze se uglavnom zeleni škriljci sa muskovi tom, kvarcom, kloritom i zelenim štapićastim amfibolom. Cijela serija škriljavih stijena odlikuje se jasno izraženom folijacijom. Lističavi minerali i štapićasti amfibol leže u ravništvu škriljavosti. Leukokratski i melanokratski sastojci se izmjениčno redaju u paralelne nakupine, a stijene poprimaju prugastu teksturu. Na pojedinim mjestima zapažaju se mikro-bore.

Pod utjecajem atmosferilija, bijele pruge biotit-klorit-ankeritskog škriljca, koje su inače krcate ankeritom, brzo se oboje žutosmeđom bojom zbog limonitizacije. Limonitizacija potječe od ankerita, a djelomično i od pirita. Boja škriljaca varira od posve tamne, preko tamnozelene, svjetlozelene do sive, zavisno od mineralnog sastava. Biotit-klorit-ankeritski škriljac je tamnije boje, a albitsko-kloritski škriljac svjetlijie.

U biotit-klorit-ankeritskom škriljcu zapažamo makroskopski listiće biotita, koji mjestimično dosežu veličinu od više kvadratnih milimetara. Boje su crne do tamnozelene sa plavčastom nijansom. Ankerit se također lako zapaža prostim okom, budući da pojedini kristali dosežu veličinu do nekoliko milimetara u promjeru. Kristali ankerita su romboedrijskog habitusa i jasno izražene kalavosti.

MIKROSKOPSKO ISPITIVANJE

Pregledom izbrusaka škriljaca pod mikroskopom odredili smo slijedeći mineralni sastav:

1. U biotit-klorit-ankeritskom škriljcu dominiraju (bitni sastojci) biotit, klorit i ankerit, dok su albit, muskovit, kvarc, aktinolit, epidot, magnetit i pirit sporedni mineralni sastojci. Mjestimično dolazi do nakupljanja sporednih sastojaka u većoj količini.

2. Albitsko-kloritski škriljac sadrži pretežno albit i klorit, uz promjenljivo učešće biotita, epidota, pirita, kvarca i magnetita.

Struktura škriljaca je heteroblastična (porfiroblastična). Kao porfiroblasti javljaju se uglavnom biotit i ankerit, dok ostali minerali predstavljaju ekvidimenzionalna zrna.

Opće mikrofiziografske karakteristike bitnih mineralnih sastojaka škriljaca navodimo u nastavku teksta.

Biotit se odlikuje karakterističnom kalavošću smjerom baze i intensivnim pleohroizmom. Potamni skoro paralelno.

Klorit je sitnolističav, pleohroitičan, zelene boje u različitim nijansama.

Ankerit se odlikuje karakterističnom romboedrijskom kalavošću i lamelarnom građom. U konvergentnom svjetlu jasno se zapaža interferencionalna figura optički jednoosnog negativnog kristala.

Albit je obično ravnomjerno raspoređen u preparatu. Zrna su vrlo sitna i nepodesna za teodolitna mjerena. Mjestimično je došlo do okupljanja albita u sitne žilice zajedno sa ankeritom i kvarcom, što ukazuje na sekreciono izlučivanje ovih minerala. Posmatranjem Becke-ove linije ustanovili smo, da albit ima manji indeks loma od indeksa loma kanadskog balzama.

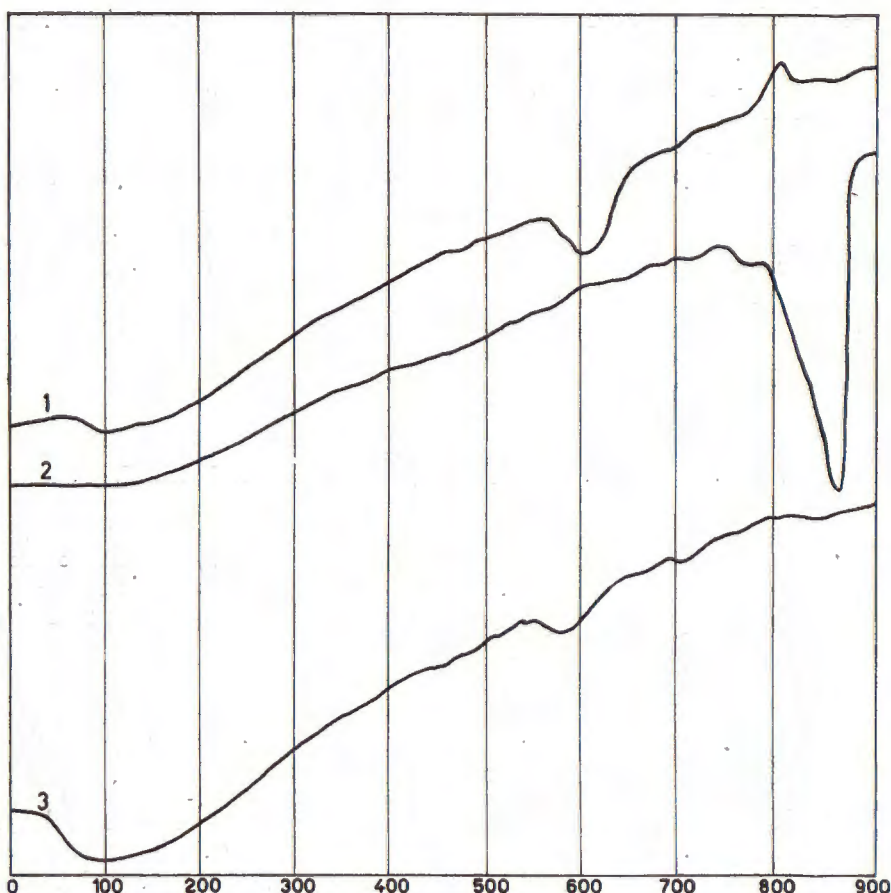
TERMIČKO ISPITIVANJE ŠKRILJACA, KLORITA I ANKERITA

Diferencijalno-termičkim ispitivanjima podvrgli smo uzorke biotit-klorit-ankeritskog škriljca, albitsko-kloritskog škriljca, te zasebno klorita i ankerita. Klorit i ankerit izolirali smo u čistom stanju iz spomenutih škriljaca. Termogravimetrijsku analizu načinili smo samo od uzorka biotit-klorit-ankeritskog škriljca.

Termički stabilitet i ponašanje minerala kloritske grupe pri termičkim ispitivanjima izučavali su brojni autori (Brindley & Ali 1950; Brindley & Youell 1953; Caillère & Hénin 1957 i dr.). Na osnovu njihovih izučavanja možemo zaključiti, da kloriti pokazuju na diferencijalno-termičkim krivuljama dvije endotermne reakcije, jednu jaču na oko 600°C , a drugu slabiju na oko 800°C . Ove reakcije predstavljaju dvostepenu dehidrataciju klorita, pri čemu je prvo zahvaćen brucitni, a zatim talkni sloj kloritske strukture. Egzotermni proces je vezan za nastanak nove kristalizirane faze (obično je to olivin) i manifestira se na krivulji u obliku pika na oko 900°C .

Krivulja 1 (sl. 1) ilustrira termičko ponašanje klorita izoliranog iz spomenutih škriljaca. Na krivulji se vide dva endotermna pika, jedan vrlo široki na temperaturi 610°C i drugi mnogo manji na oko 705°C . Isto tako, jasno je uočljiv i treći egzotermni pik kod 812°C .

Diferencijalno-termičke karakteristike ankerita ispitivao je Beck (1950), kao i drugi autori. Na osnovu objavljenih krivulja može se zaključiti na razlike koje postoje između ankerita i željezovitih dolomita. Ankeriti se odlikuju pojavom dodatnog erdoternog pika između dva postojeća dolomitska. Prvi pik ankerita se javlja na $700-730^{\circ}\text{C}$ i odgovara razgradnji karbonatnih iona vezanih na (Fe, Mg)-položaj. Položaj ovog pika se kreće prema nižim temperaturnim vrijednostima kod uzo-



Sl. 1. Diferencijalno-termičke krivulje: 1 klorit; 2 ankerit; 3 albitsko-kloritski škriljac.

Fig. 1. Differential-thermic curves: 1 chlorite; 2 ankerite; 3 albite-chlorite schist

raka koji su bogatiji željezom. Srednji endotermni pik, isključivo ankeritski, raste sa sadržajem željeza i pojavljuje se kod relativno konstantne temperature. Treći endotermni pik je manje ovisan o sadržaju željeza, a odgovara otpuštanju CO_2 koji je vezan zaione kalcija, a javlja se oko $900\text{--}940^\circ\text{C}$.

Ankeritska krivulja 2 (sl. 1), prikazuje dva slabije izražena endotermna pika i jedan vrlo jaki. Prvi je na temperaturi 715°C i odgovarao bi razgradnji $(\text{Mg}, \text{Fe})\text{CO}_3$, drugi isključivo ankeritski na 770°C i treći vezan za razgradnju CaCO_3 se javlja na temperaturi od 870°C .

Diferencijalno-termičke krivulje (br. 3, sl. 1; 1 sl. 2) odnose se na albitsko-kloritski škriljac i na biotit-klorit-ankeritski škriljac. Na prvoj krivulji registrirano je prisustvo klorita, a na drugoj, pored klorita, još i ankerit.

Pojava egzoternog pika kod 500°C na krivulji biotit-klorit-ankeritskog škriljca (1, sl. 2) može se objasniti oksidacijom Fe^{2+} u Fe^{3+} , budući da uzorak sadrži dosta željeza, a analiza je rađena u atmosferi znaka. Da se stvarno radi o procesu oksidacije, najbolje potvrđuje termogravimetrijska krivulja (2, sl. 2), na kojoj je registriran mali porast težine uzorka nakon 500°C .

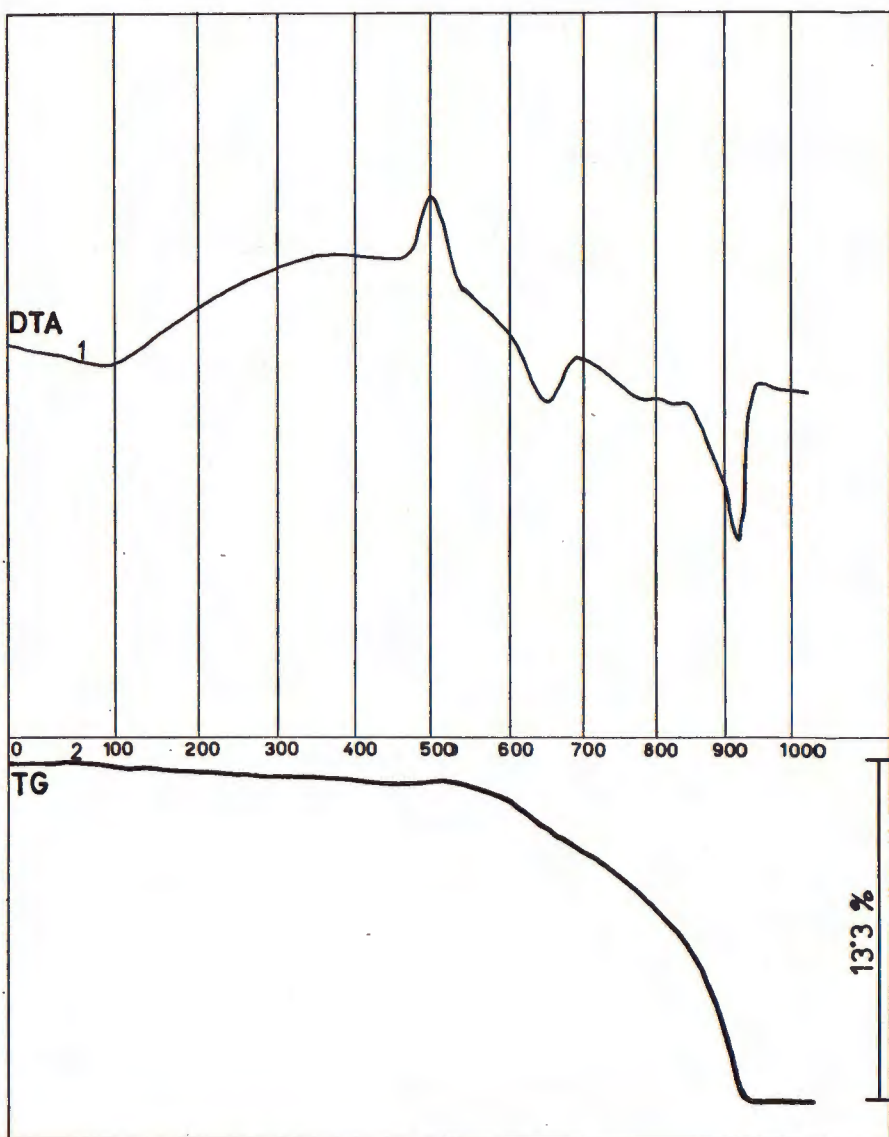
RENDGENOGRAFSKO ISPITIVANJE ŠKRILJACA, BIOTITA, KLORITA, ANKERITA I PIRITA

Uz ostale metode, uzorce smo ispitivali i rendgenografski uz primjenu metode praška. Kod svih uzoraka koristili smo i metodu filma i metodu difraktometra, kako bismo na taj način dobili što pouzdanije rezultate. Za snimanje po metodi filma upotrebljavali smo veliku kameru promjera 114,6 milimetara i Cu K α zračenje filtrirano sa nikalnjim filtrom. Kod svih uzoraka ekspozicija je trajala u prosjeku 4 sata. Za snimanje na difraktometru koristili smo isto zračenje, pri čemu je brzina brojača bila $1/2^{\circ}$ na minutu, a hod papira 400 milimetara na sat. Dijagrami uzoraka po obje metode dobiveni su na Philipsovom instrumentu.

Odgovarajući podaci za međuplošne razmake i intenzitete refleksa navedeni su u priloženim tabelama, posebno za škriljce (tabela I i tabela II), a posebno za izdvojene minerale (tabela III).

KEMIJSKI SASTAV ŠKRILJACA, BIOTITA I ANKERITA

Za kemiju analizu odabrali smo »srednje probe« škriljaca i gotovo čiste uzorce ankerita i biotita, čiji sastav smo prikazali na tabeli IV. Kemijска analiza albitsko-kloritskog škriljca (kolona 1) pokazuje povišeni silicij, aluminij i natrij, što je u skladu sa prisustvom znatne količine albita. Preostali dio silicija i aluminijskih komponenata koji nije vezan za albit, te ostale komponente, ulaze u sastav klorita. U analizi biotit-klorit-ankeritskog škriljca (kolona 2) upada u oči relativno nizak sadržaj silicija i aluminijskih komponenti, a količina željeza, magnezija, kalcija, kalija i CO_2 je povišena. Ova analiza je u dobrom skladu sa mineralnim sastavom. Uzorci analiziranih škriljaca uzeti su na terenu skoro jedan pored drugog, što pokazuje, da se mineralni sastav stijena, a s tim u vezi i njihov kemijski sastav znatno mijenja unutar prostorno ograničene sredine. U koloni 3 naveden je sastav potpuno čisto g biotita, koji smo relativno



Sl. 2. Biotit-klorit-ankeritski škriljac: 1 diferencijalno-termička krivulja;
2 termogravimetrijska krivulja

Fig. 2. Biotite-chlorite-ankerite schist: 1 differential-thermic curve;
2 thermobalance curve

Tabela I. Podaci iz Debye-grama za biotit-klorit-ankeritski škriljac
Table I. X-ray powder data for biotite-chlorite-ankerite schist

<u>I</u>	<u>d</u>	<u>I</u>	<u>d</u>
w	18,897	mw	1,718
w	10,094	w	1,670
m	7,036	jv	1,569
w	6,862	ms	1,546
w	4,642	w	1,505
m	4,250	w	1,470
s	4,036	jv	1,424
ms	3,665	m	1,395
w	3,517	m	1,375
vs	3,338	jv	1,352
vvs	3,193	jv	1,330
jv	2,974		
vs	2,895		
vw	2,748		
jv	2,629	Mineralni sastav:	
m	2,556	biotit	
m	2,438	klorit	
mm	2,408	ankerit	
jv	2,325	kvarc	
w	2,277	albit	
m	2,195	s = jak (strong)	
mm	2,127	w = slab (weak)	
vw	2,079	m = srednji (middle)	
m	2,019	v = vrlo (very)	
jv	1,979	jv = jedva vidljiv (hardly visible)	
mm	1,896		
vw	1,850		
ms	1,820		
m	1,794		
jv	1,749		

Tabela II. Podaci iz Debye-grama za albitsko-kloritski škriljac
 Table II. X-ray powder data for albite-chlorite schist

I	d	I	d
mm	14,441	jv	1,853
m	10,094	m	1,829
s	6,820	mm	1,784
mm	6,413	jv	1,751
jv	5,929	m	1,722
jv	5,552	jv	1,683
w _d	4,784	jv	1,624
w _d	4,448	vw	1,572
vv _s	4,040	m	1,552
w	3,880	m	1,509
m	3,741		
vs	3,671		
ms	3,552	Mineralni sastav:	
ms	3,365	albit	
vvvs	3,197	klorit	
s	2,955	biotit	
mw	2,857	epidot	
mw	2,743	pirit	
mm	2,632		
s	2,550		
ms	2,423	d = raširen, difuzan	
m	2,365	(diffuse)	
w	2,322		
jv	2,273		
w	2,196		
mw	2,126		
vw	2,081		
m	2,011		
m	1,896		

Tabela III. Podaci iz Debye-gráma za klorit, ankerit, biotit i pirít

Table III. X-ray powder data for chlorite, ankerite, biotite and pyrite

klorit		ankerit		biotit		pirít	
I	d	I	d	I	d	I	d
m	14,329	w _d	9,571	jv	14,843	jv	8,888
vvs	7,140	jv	4,040	vvs	10,100	jv	8,209
m _d	4,750	s	3,695	rmm	7,115	m	8,121
m	4,040	m	3,348	rnd	4,493	jv	2,904
jv	3,910	w	3,204	rnm	4,051	vs	2,791
jv	3,785	jv	3,007	rnm	3,689	s	2,424
mm	3,677	vvs	2,899	rn	3,545	s	2,264
vvs	3,558	mv	2,684	vs	3,363	s	1,917
jv	3,386	w	2,546	m _d	3,139	vvs	1,635
vs _d	3,215	s	2,409	jv	3,056	m	1,564
vw	2,966	vs	2,200	mw	2,947	ms	1,504
w	2,803	w	2,072	vs	2,639	s	1,449
w	2,761	s	2,022	ms	2,534	mm	1,246
jv	2,648	m	1,855	vs	2,454	mm	1,206
ms	2,615	vs	1,814	jv	2,392	m	1,186
ms	2,565	vs	1,793	jv	2,322	jv	1,155
ms	2,472	mw	1,570	m	2,291		
ms	2,403	s	1,550	s	2,190		
jv	2,337	ms	1,471	s _d	2,009		
mm	2,284	w	1,450	s	1,682		
jv	2,206	jv	1,445	vs	1,546		
jv	2,127	w	1,439	m m _d	1,372		
jv	2,086	ms	1,393	m m _d	1,333		
ms	2,016	m	1,343				
m	1,909	mw	1,301				
mm	1,837	mw	1,268				
jv	1,763	mm	1,243				
w	1,733	w	1,207				
jv	1,680	w	1,175				
mm	1,627	vw	1,148				
ms	1,565	w	1,130				
mm	1,518	m	1,115				
jv	1,474						
jv	1,422						
mm	1,400						

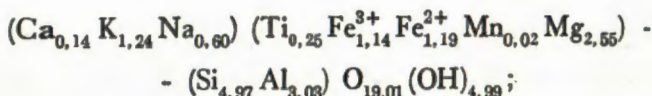
Tabela IV. Kemijski sastav škriljaca, biotita i ankerita
 Table IV. Chemical composition of schists, biotite and ankerite

	1	2	3	4
SiO ₂	47,44	39,10	33,66	4,89
TiO ₂	2,57	1,41	2,28	0,79
Al ₂ O ₃	19,37	12,13	17,40	0,93
Fe ₂ O ₃	8,21	5,35	9,51	0,30
FeO	4,89	4,11	9,63	10,00
MnO	0,16	0,29	0,19	0,91
MgO	5,60	10,11	11,61	14,08
CaO	1,16	9,42	0,93	28,40
Na ₂ O	7,27	1,08	2,10	0,70
K ₂ O	1,21	4,36	6,60	0,09
H ₂ O+	2,63	1,71	5,06	—
H ₂ O—	0,17	0,12	0,69	0,17
CO ₂	—	11,21	—	39,36
P ₂ O ₅	0,02	0,17	0,18	0,01
Suma	100,70	100,57	99,84	100,63
1 Albitsko-kloritski škriljac Albite-chlorite schist				
2 Biotit-klorit-ankeritski škriljac Biotite-chlorite-ankerite schist				
3 Biotit Biotite				
4 Ankerit Ankerite				

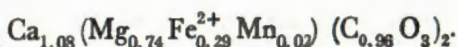
lako izolirali iz škriljaca. Nasuprot biotitu, iz kemijske analize ankerita (kolona 4) se vidi prisustvo određenih nečistoća, koje nismo mogli imiti prilikom izdvajanja ankerita iz stijene.

Iz rezultata kemijske analize preračunali smo brojeve iona, posebno za biotit i posebno za ankerit. Ove vrijednosti su ušle u citirane kristalokemijske formule. Preračunavanje za biotit vršeno je na bazi 24 (O, OH), a za ankerit na bazi 6 (O). Formule su slijedeće:

Za biotit



Za ankerit



Preračunati ionski brojevi i navedene strukturne formule minerala su u dobrom skladu sa literaturnim podacima (Deer, Howie & Zussman 1962).

Katedra za geologiju
Prirodno-matematičkog fakulteta
Sarajevo, Titova 114

Primljeno 13. XI 1969.

LITERATURA

- Beck, C. W. (1950): Differential thermal analysis curves of carbonate minerals. — Am. Min. 35, p. 985.
- Brindley, G. W. & Ali, S. Z. (1950): X-ray study of thermal transformations in some magnesian chlorite minerals. — Acta Cryst. 3, 25-30.
- Brindley, G. W. & Youell, R. F. (1953): Ferrous chamosite and ferric chamosite. — Min. Mag. 30, 57-70.
- Caillère, S. & Hénin, S. (1957): The chlorite and serpentine minerals u »The differential thermal investigation of clays«. Min. Soc. London.
- Deer, W. A., Howie, A. R. & Zussman, J. (1962): Rock-forming minerals. Vol. 3 i 4. Longmans, Green and Co LTD. London.
- Jurković, I. & Majer, V. (1954): Riolit (kremen porfir) Vranice planine i albitski riolit Sinjakova u srednjebosanskom rudogorju. — Vesn. Zav. geol. i geof. istraž. 11, 207-233. Beograd.
- Katzer, F. (1926): Geologija Bosne i Hercegovine. Sv. 1, Sarajevo.
- Šibenik-Studen, M. & Trubelja, F. (1967): Novi prilog poznавању magmatizma doline rijeke Vrbasa. — Glasnik Zem. muzeja 6, 5-13, Nova serija. Sarajevo.
- Tajder, M. & Raffaelli, P. (1967): Metamorfozirani porfirit-keratofiri u srednjebosanskom škriljavom gorju. — Geol. vjesnik 20, 153-170. Zagreb.

Trubelja, F. & Šibenik-Studen, M. (1965): Efuzivne stijene iz doline rijeke Vrbasa i graniti Komara. — Glasnik Zem. muzeja 3/4, 99-103, Nova serija. Sarajevo.

Zivanović, M. (1963): Prilog stratigrafiji srednjobosanskih škriljastih planina. — Geol. glasnik 7, 195-198. Sarajevo.

F. TRUBELJA and G. SIJARIC

A CONTRIBUTION TO THE KNOWLEDGE OF THE MINERALOGICAL AND CHEMICAL COMPOSITION OF SCHISTS IN THE CENTRAL BOSNIAN ORE-MOUNTAINS

In the vicinity of Busovača, near the tourist resort of Tisovac, in the Central Bosnian Schist Mountains, besides the schists of low-grade metamorphism, there have been found biotite-chlorite-ankerite and albite-chlorite schists.

The mentioned rocks represent a relatively narrow zone within the series of green-schists. The thickness of the zone varies from a few centimeters to almost a meter. The whole series of the schist-rocks is characterized by a clearly visible foliation.

The mineral composition of the schists has been determined by the application of optic, chemical, thermic and X-ray methods.

In the biotite-chlorite-ankerite schists, the following minerals have been determined: biotite, chlorite, ankerite, albite, muscovite, quartz, actinolite, epidote, magnetite and pyrite. The albite-chlorite schist contains albite and chlorite predominantly, while biotite, epidote, pyrite, quartz, and magnetite are present to a lesser extent.

The thermic characteristics of the schists and individual minerals are presented by thermic curves (Fig. 1 and Fig. 2).

The results of the X-ray investigations are presented in the tables (Tab. I, II, III).

The chemical composition of the schists, as well as of biotite and ankerite, has been presented in Tab. IV. Biotite and ankerite have been isolated from the schists in a relatively pure state.

From the results of the chemical analysis, we have obtained ionic numbers on the basis of which the crystallo-chemical formulae for biotite and ankerite have been determined.

Received 13th November 1969.

Chair of Geology
Faculty of Science,
Sarajevo, Titova 114